

## ДОСЛІДЖЕННЯ ЛЮМІНЕСЦЕНЦІЇ ЗМІШАНОГО ЛІТІЙ–ЦЕЗІЄВОГО ХЛОРИДУ ІЗ ЗАСТОСУВАННЯМ СИНХРОТРОННОГО ВИПРОМІНЮВАННЯ

В. Б. Михайлік

Львівський державний університет імені Івана Франка,  
бул. Кирила і Мефодія, 8, Львів, 290005, Україна  
(Отримано 25 лютого 1998 р.)

Приведені результати дослідження люмінесцентних властивостей змішаного літій–цезієвого хлориду з використанням синхротронного випромінювання. Поряд із смугами довготривалого ( $10^{-6}$  с) випромінювання, які зумовлені випромінюванням рекомбінацією дефектних центрів (2.5 еВ) та розпадом автолокалізованих екситонів (2.9 та 4.2 еВ), у спектрах люмінесценції виявлена широка смуга з максимумом 4.4 еВ та константою післясвічення  $2.0 \pm 0.1$  нс, яка збуджується фотонами з енергією понад 14.1 еВ. Цю смугу інтерпретуємо як домішкову остаточно–валентну люмінесценцію (ОВЛ), обумовлену випромінюванням рекомбінацією валентних електронів та дірок у 5p–остатові цезію.

**Ключові слова:** Остаточно–валентна люмінесценція, остатові збудження, спектри збудження, кінетика люмінесценції.

PACS number(s): 71.55.-i, 78.55.Fv

### I. ВСТУП

Домішкова остаточно–валентна люмінесценція (ОВЛ) ідентифікована нещодавно в ряді хлоридів з домішкою цезію як специфічний канал випромінювального розпаду остатових збуджень [1]. Остатові 5p–електрони іонів цезію формують у цих сполучках домішкові рівні в енергетичному інтервалі між остатовою та валентною зонами матриці. Унаслідок малої енергії іонізації 5p–остата цезію ( $\sim 14$  еВ) енергетична віддаль між цими рівнями та валентною зоною є меншою аніж ширина забороненої зони  $E_g$  матриці. Тому безвипромінювальний Оже–розпад, який звичайно є основним каналом релаксації остатових збуджень [2, 3], стає енергетично забороненим. За відсутності Оже–процесів час життя домішкових остатових збуджень зростає до  $\sim 10^{-9}$  с, що визначається ймовірністю їхньої випромінювальної рекомбінації з валентними електронами. Домішкова ОВЛ, яка виникає в таких системах, тісно чи іншою мірою пов’язана з рядом інших ефектів — таких, як термалізація локалізація остатових дірок, непружне розсіяння електронів, створення дефектів, передача енергії збудження тощо. Усе це знаходить своє відображення у спектральних і кінетичних характеристиках випромінювання. Тому дослідження домішкової ОВЛ дають унікальну можливість простежити еволюцію високоенергетичних остатових збуджень за допомогою традиційних методів спектроскопії часового розділення. Прикладом цього можуть бути нещодавні дослідження особливостей розпаду остатових збуджень у змішаних кристалах  $Rb_{1-x}Cs_xF$  [4],  $K_{1-x}Cs_xCl$  [5] та  $Rb_{1-x}Cs_xCl$  [6]. Ще одна причина інтересу до вивчення домішкової ОВЛ пов’язана з перспективою можливого застосування сполук з відповідними властивостями для створення ефективних та швидкодіючих детекторів іонізуючого випромінювання [7].

Метою нашої роботи було довести існування доміш-

кової ОВЛ у ще одній системі з ряду лужних хлоридів з домішкою цезію — хлорид літію, а також дослідити спектрально–кінетичні характеристики випромінювання. Оскільки літій–цезієвий хлорид є невпорядкованою системою, на відміну від твердих розчинів заміщення типу лужний галоїд–галоїд цезію [8], то дослідження особливостей домішкової ОВЛ у такій сполучці викликає особливий інтерес з погляду перевірки основних закономірностей, виявлених для сполук із впорядкованою структурою.

### II. МЕТОДИКА ДОСЛІДЖЕНЬ

Експериментальні взірці літій–цезієвого хлориду, що містять 0.27 молярних частин  $CsCl$ , були синтезовані у кварцевих ампулах з відповідних сумішей монокристалічних хлоридів літію та цезію. Однорідні взірці хорошої оптичної якості з кристалічним блиском від сколів були вирощені з розплаву методом Бриджмена.

Вимірювання спектральних та кінетичних параметрів люмінесценції при збудженні випромінюванням ВУФ–діапазону спектра від синхротронного джерела були проведені на станції SUPERLUMI у Гамбурзькій синхротронній лабораторії HASYLAB (Німеччина). Докладний опис апаратури та методики люмінесцентних досліджень зроблений у поклику [9]. Використання методики спектроскопії з часовим розділенням дало змогу окремо реєструвати спектри збудження та люмінесценції швидкою ( $\sim 10^{-9}$  с) та повільною ( $\sim 10^{-6}$  с) складових випромінювання.

### III. РЕЗУЛЬТАТИ ТА ОБГОВОРЕННЯ

На рис. 1 наведені спекtri люмінесценції сполуки  $LiCl\text{--}0.27 CsCl$ , одержані при збудженні фотонами з енергією 21 еВ. Як видно з рис. 1а, при  $T=300$  К

основний вклад в інтегральний спектр випромінювання дає швидка складова з максимумом при 4.4 еВ та півшириною близько 1.6 еВ. У сумі з випромінювання з максимумом 2.9 еВ домінує повільна складова. Охолодження зразка до 9 К приводить до зміни форми контуру спектра люмінесценції та його розширення в низькоенергетичну область (рис. 1б). Остання обставина вказує наяву додаткових смуг випромінювання в цій області. У спектрі повільної компоненти люмінесценції при 9 К чітко розрізняються смуги з максимумами 4.2, 2.9 еВ та низькоенергетичне плече в околі 2.5 еВ. Спектральне положення першої з цих смут корелює з максимумом випромінювання автолокалізованого екситона (ALE) у хлориді літію, який розташований при 4.18 еВ і характеризується часом післясвічення  $\sim 10^{-4}$  с ( $T=4.2$  К) [10].

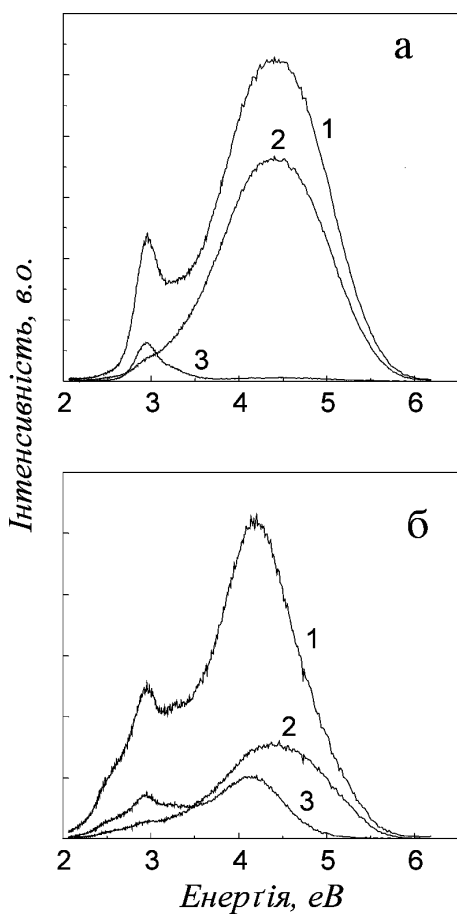


Рис. 1. Спектри люмінесценції  $\text{LiCl}-0.27\text{CsCl}$ , одержані при збудженні фотонами з енергією 21 еВ. Наведені сумарний спектр випромінювання (1) та його швидка (2) та повільна (3) компоненти.  $T=300$  (а) та 9 К (б).

У нещодавній роботі [11] смуга люмінесценції 2.92 еВ з довготривалим часом післясвічення ( $\sim 10^{-6}$  с), що простежується в чистому  $\text{CsCl}$ ,

пов'язана з випромінюванням  $\pi$ -компоненти АЛЕ. При 5 К в цьому кристалі також виявлена смуга люмінесценції в околі 2.6 еВ з тривалим часом післясвічення, яку інтерпретують як тунельну випромінювальну рекомбінацію близькорозташованих  $V_{\text{k}}$ -та  $F$ -центрів. Беручи до уваги кореляцію часових та спектральних параметрів випромінювання у  $\text{CsCl}$  з відповідними характеристиками смуг люмінесценції, що спостерігаються у літій–цеїевому хлориді в околі 2.9 та 2.6 еВ, логічно припустити, що вони мають таку ж саму природу, як і в  $\text{CsCl}$ .

Як випливає з порівняння рис. 1а та 1б, структура спектра випромінювання швидкої компоненти залишається практично незмінною при пониженні температури. Кінетика спаду інтенсивності люмінесценції у сумі з максимумом 4.4 еВ також не залежить від температури, а константа післясвічення становить  $2.0 \pm 0.1$  нс (див. рис. 2). Структура імпульсу, що спостерігається в околі 14 та 55 нс, зумовлена апаратурними особливостями.

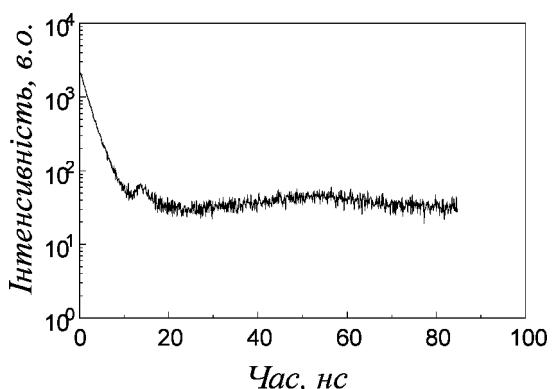


Рис. 2. Крива спаду імпульсу люмінесценції смуги 4.4 еВ у  $\text{LiCl}-0.27\text{CsCl}$  ( $T=300$  К). Збудження фотонами з енергією 21 еВ.

Зазначені особливості цієї смуги люмінесценції, а також оцінки енергетичної структури сполуки свідчать, що випромінювання має остаточно-валентну природу. Безпосередній доказ цього факту одержаний із вимірювань спектрів збудження люмінесценції. Як видно з рис. 3 (крива 1), де показано спектр збудження смуги 4.4 еВ у  $\text{LiCl}-0.27\text{CsCl}$ , швидка компонента випромінювання має чітко окреслений поріг в околі 14.1 еВ, що відповідає початкові фотойонізації 5p-остовних рівнів Cs. Положення цього порога збудження доволі добре корелює з початком збудження власної ОВЛ у  $\text{CsCl}$  (рис. 3, крива 2), що також свідчить на користь запропонованої інтерпретації.

Оскільки найближча остаточна зона катіона літію розташована в районі 60 еВ [12], то цілком очевидно, що його остаточні стани не проявляються у наведених спектрах збудження домішкової ОВЛ літій–цеїевого хлориду. Отже, особливості спектра збудження слід розглядати, враховуючи участь лише

остовних станів цезію та хлору в процесах перетворення енергії. Це є основна відмінність, що визначає особливості інтерпретації для літій–цезіевого хлориду в порівнянні з іншими змішаними хлоридами цезію, де участь остаточних станів матриці суттєво визначає структуру спектра збудження домішкової ОВЛ [5, 6]. Так, на противагу спектрам збудження власної ОВЛ у  $\text{CsCl}$  і домішкової ОВЛ у  $\text{K}_{1-x}\text{Cs}_x\text{Cl}$  та  $\text{Rb}_{1-x}\text{Cs}_x\text{Cl}$ , які демонструють певну структуру в області фотойонізації катіонних остатів, у спектрі збудження  $\text{LiCl}-0.27\text{ CsCl}$  в районі 14–25 еВ спостерігаємо широку безструктурну смугу.

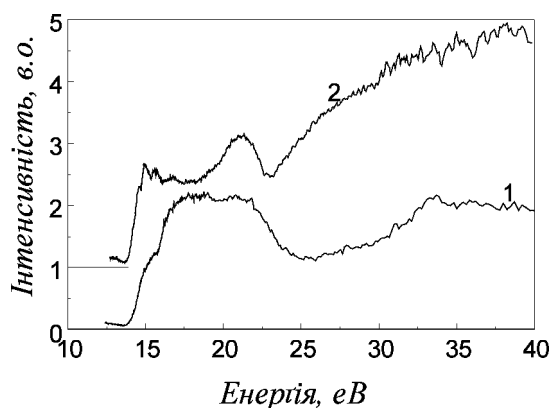


Рис. 3. Спектри збудження смуг люмінесценції 4.4 еВ у  $\text{LiCl}-0.27\text{ CsCl}$  (1) та 4.5 еВ у  $\text{CsCl}$  (2) ( $T=300\text{ K}$ ).

Величина світловиходу люмінесценції є максимальною і практично постійною при збудженні в області 17–22 еВ. Коли енергія фотонів перевищує 22 еВ, у

спектрі спостерігаємо падіння світловиходу домішкової ОВЛ, що зменшується майже вдвічі при 25 еВ. Цей ефект є наслідком високої жеження переходів  $5p\text{Cs}$  — зона провідності та початком збудження  $4s$  станів аніона, які розпадаються безвипромінюально через Оже-процес і не приводять до появи дірок у  $5p$ -остові цезію. Зростом енергії збудження спостерігаємо поступове нарощання інтенсивності домішкової ОВЛ. Це можна пов'язати з процесами помноження елементарних збуджень у  $5p$ -остові цезію, які починають проявлятися при енергіях  $>28$  еВ, що відповідає подвоєному значенню енергії фотойонізації  $5p\text{Cs}$ -станів [13].

#### IV. ВИСНОВКИ

Одержані результати свідчать, що смуга випромінювання з максимумом 4.4 еВ, виявлена у змішаному літій–цезіевому хлориді, зумовлена випромінюальною рекомбінацією електронів валентної зони з дірками, утвореними в  $5p$ -остові цезію. Так само, як і в інших лужних хлоридах з домішкою цезію, основний вклад у домішкову ОВЛ дає безпосереднє збудження остаточних станів цезію.

#### ПОДЯКА

Автор висловлює подяку докторові фіз.-мат. наук А. С. Волошиновському за допомогу в проведенні експерименту та інтерпретації результатів, а також професорові Г. Ціммерерові за надану можливість провести вимірювання з використанням синхротронного випромінювання.

- 
- [1] А. С. Волошиновський, В. Б. Михайлік, П. О. Родний, М. С. Підзирайлло, М. В. Куцик, С. В. Сиротюк, О. М. Яресько, Укр. фіз. журн. **41**, 77 (1996).
  - [2] G. J. Lapeyre, A. D. Baer, J. Hermanson, J. Anderson, J. A. Knapp, P. L. Gobby, Solid State Commun. **15**, 1601 (1972).
  - [3] M. Kamada, O. Aita, K. Ichikawa, K. Tsutsumi, Phys. Rev. B **36**, 4962 (1987).
  - [4] M. Itoh, M. Ohno, S. Hasimoto, Phys. Rev. Lett. **69**, 1133 (1992).
  - [5] A. S. Voloshinovskii, V. B. Mikhailik, M. S. Mikhailik, P. A. Rodnyi, E. N. Mel'chakov, I. H. Munro, C. Mythen, D. Shaw, G. Zimmerer, J. Becker, M. Runne, Solid State Commun. **103**, 689 (1997).
  - [6] А. С. Волошиновський, В. Б. Михайлік, М. С. Михайлік, Г. Б. Стриганюк, Журн. фіз. досл. **2**, 371 (1998).
  - [7] A. S. Voloshinovskii, V. B. Mikhailik, P. A. Rodnyi, Radiat. Measur. **24**, 383 (1995).
  - [8] Б. Г. Коршунов, В. В. Сафонов, Д. В. Дробот, *Фазовые равновесия в галоидных системах* (Металургия, Москва, 1979).
  - [9] G. Zimmerer, Nucl. Instrum. Methods A **308**, 178 (1991).
  - [10] K. S. Song, R. T. Williams, *Self-Trapped Excitons* (Berlin Heidelberg, Springer-Verlag, 1993).
  - [11] A. Lushchik, E. Feldbakh, A. Frorip, K. Ibragimov, I. Kuusmann, Ch. Luchchik, J. Phys. Cond. Matt. **6**, 2357 (1994).
  - [12] S. T. Pantelides, Phys. Rev. B **11**, 2391 (1975).
  - [13] M. Kirm, I. Martinson, A. Lushchik, K. Kalder, R. Kink, Ch. Lushchik, A. Lohmus, Solid State Commun. **90**, 741 (1994).

В. Б. МИХАЙЛІК

LUMINESCENCE INVESTIGATIONS OF MIXED LITHIUM–CESIUM CHLORIDE  
USING SYNCHROTRON RADIATION

V. B. Mikhailik

*The Ivan Franko State University of Lviv, Chair of Experimental Physics  
8 Kyrylo i Mefodii Str., Lviv, UA-290005, Ukraine*

Emission characteristics of mixed lithium–cesium chloride compounds were studied using synchrotron radiation. In addition to the long-living ( $10^{-6}$  s) luminescence bands, attributed to the radiative decay of defect centers (2.5 eV) and self-trapped excitons (2.9 and 4.2 eV), a fast wide-band emission peaked at 4.4 eV with the decay constant of  $2.0 \pm 0.1$  ns is found to emerge at excitation by photons with the energy above 14.1 eV. This band is assigned to the impurity core-valence luminescence (CVL) caused by radiative recombination of valence electrons and  $5p_{\text{Cs}}$ -core holes.